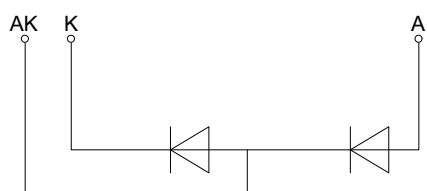
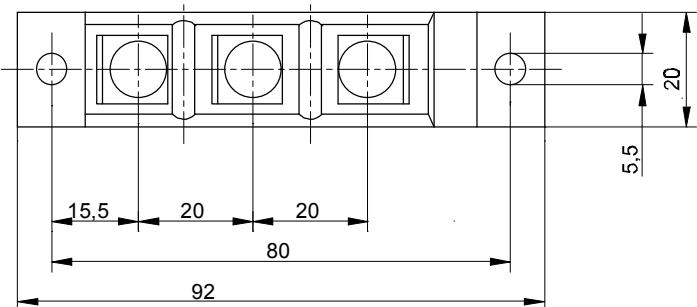
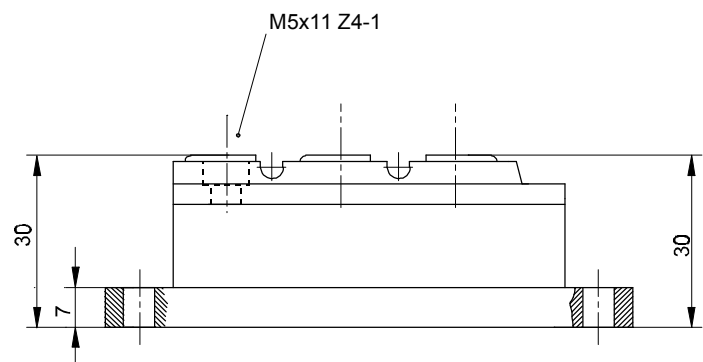




European Power-  
Semiconductor and  
Electronics Company  
GmbH + Co. KG

## Marketing Information DD 82 S



# DD 82 S

Elektrische Eigenschaften		Electrical properties			
Höchstzulässige Werte		Maximum rated values			
Periodische Spitzensperrspannung	repetitive peak reverse voltage	$t_{vj} = -40^\circ\text{C} \dots t_{vj \max}$	$V_{RRM}$	100	600
Stoßspitzenspannung	non-repetitive peak reverse voltage	$t_{vj} = +25^\circ\text{C} \dots t_{vj \max}$	$V_{RSM} = V_{RRM}$	800	1000
Durchlaßstrom-Grenzeffektivwert	RMS forward current		$I_{FRMSM}$	1000	V
Dauergrenzstrom	average forward current	$t_c = 100^\circ\text{C}$	$I_{FAVM}$	150	A
		$t_c = 88^\circ\text{C}$		81	A
Stoßstrom-Grenzwert	surge current	$t_{vj} \leq 45^\circ\text{C}, t_p = 10 \text{ ms}$	$I_{FSM}$	96	A
		$t_{vj} \leq 150^\circ\text{C}, t_p = 10 \text{ ms}$		2300	A
Grenzlastintegral	$\int i^2 t \text{ value}$	$t_{vj} \leq 45^\circ\text{C}, t_p = 10 \text{ ms}$	$\int i^2 t$	1900	A
		$t_{vj} \leq 150^\circ\text{C}, t_p = 10 \text{ ms}$		26450	$\text{A}^2\text{s}$
				18050	$\text{A}^2\text{s}$
Charakteristische Werte		Characteristic values			
Durchlaßspannung	forward voltage	$t_{vj} = 150^\circ\text{C}, i_F = 300 \text{ A}$	$V_F$	max. 1,55 V	
Schleusenspannung	threshold voltage		$V_{(TO)}$	1,0 V	
Ersatzwiderstand	slope resistance		$r_T$	1,7 mΩ	
Sperrstrom	reverse current	$t_{vj} = 150^\circ\text{C}, v_R = V_{RRM}$	$i_R$	40 mA	
Nachlaufladung	lag charge	$i_{FM} = 120 \text{ A}, -di_F/dt = 100 \text{ A}/\mu\text{s}$	$Q_S$	25 μAs	
Isolations-Prüfspannung	insulation test voltage	RMS, f = 50 Hz, t = 1 min.	$V_{ISOL}$	2,5 kV	
Thermische Eigenschaften		Thermal properties			
Innerer Wärmewiderstand	thermal resistance, junction to case	$\Theta = 180^\circ\text{el. sin: pro Modul/per module}$	$R_{thJC}$	0,235	°C/W
		pro Zweig/per arm		0,47	°C/W
		DC: pro Modul/per module		0,240	°C/W
		pro Zweig/per arm		0,480	°C/W
Übergangs-Wärmewiderstand	thermal resistance, case to heatsink	pro Modul/per module	$R_{thCK}$	0,08	°C/W
		pro Zweig/per arm		0,16	°C/W
Höchstzul. Sperrsichttemperatur	max. junction temperature		$t_{vj \ max}$	150	°C
Betriebstemperatur	operating temperature		$t_{c \ op}$	-40...+150	°C
Lagertemperatur	storage temperature		$t_{stg}$	-40...+150	°C
Mechanische Eigenschaften		Mechanical properties			
Innere Isolation	internal insulation			AIN	
Anzugsdrehmomente	tightening torques				
mechanische Befestigung	mounting torque	Toleranz/tolerance +/- 15%	M1	4 Nm	
elektrische Anschlüsse	terminal connection torque	Toleranz/tolerance +5%/-10%	M2	4 Nm	
Gewicht	weight		G	typ. 200 g	
Kriechstrecke	creepage distance			14 mm	
Schwingfestigkeit	vibration resistance	f = 50 Hz		5 · 9,81 m/s²	

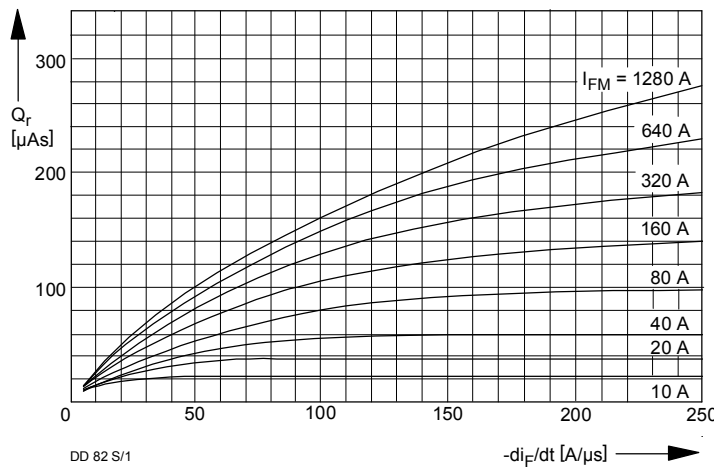


Bild / Fig. 1  
Sperrverzögerungsladung  $Q_r = f(-di/dt)$ ,  $t_{vj} = t_{vj}(\max)$ ,  $v_R \leq 0,5 V_{RRM}$ ,  
 $v_{RM} = 0,8 V_{RRM}$  /  
Recovered charge  $Q_r = f(-di/dt)$ ,  $t_{vj} = t_{vj}(\max)$ ,  $v_R \leq 0,5 V_{RRM}$ ,  
 $v_{RM} = 0,8 V_{RRM}$   
Parameter: Durchlaßstrom / On-state current  $I_{FM}$

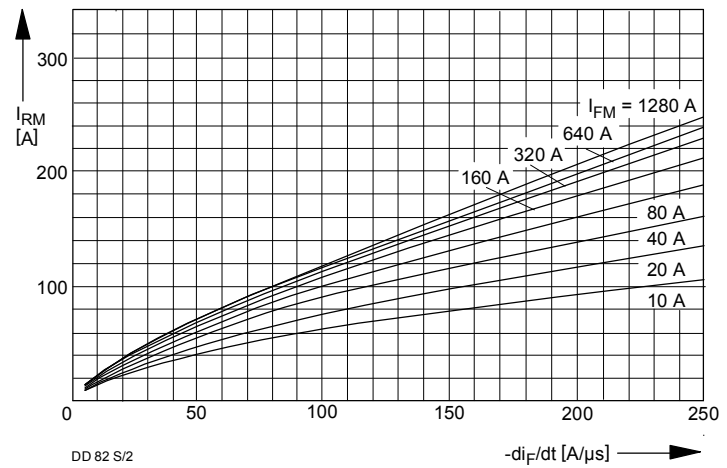


Bild / Fig. 2  
Rückstromspitze  $I_{RM} = f(-di/dt)$ ,  $t_{vj} = t_{vj}(\max)$ ,  $v_R \leq 0,5 V_{RRM}$ ;  $v_{RM} = 0,8 V_{RRM}$ ,  
 $v_{RM} = 0,8 V_{RRM}$   
Parameter: Durchlaßstrom / On-state current  $I_{TM}$

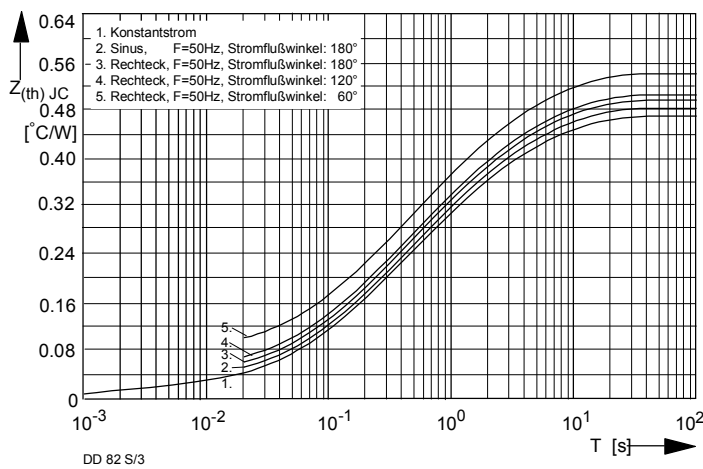


Bild / Fig. 3  
Transienter innerer Wärmewiderstand  $Z_{thJC}$  für einen Zweig  
bei sinus- und trapezförmigem Stromverlauf  
Transient thermal impedance  $Z_{thJC}$ , junction to case per arm  
at sinusoidal and trapezoidal waveform.

Analytische Elemente des transistenten Wärmewiderstandes  $Z_{thJC}$  pro Zweig für DC  
Analytical elements of transient thermal impedance  $Z_{thJC}$  per arm for DC

Pos. n	1	2	3	4	5	6	7
$R_{thn} [\text{°C}/\text{W}]$	0,0102	0,0329	0,0805	0,0741	0,072		
$\tau_n [\text{s}]$	0,00112	0,0175	0,322	1,21	7,5		

Analytische Funktion / Analytical function:

$$Z_{thJC} = \sum_{n=1}^{n_{\max}} R_{thn} \left(1 - e^{-\frac{t}{\tau_n}}\right)$$